



Структурная амплитуда.

Симметрия обратного пространства.

Дифракция рентгеновских лучей на  
реальных объектах.

Теоретическая дифрактограмма.

# Содержание

---

1. Структурная амплитуда
2. Симметрия в обратном пространстве.

# 1.0 Краткое содержание предыдущих серий

---

1. Рассеивающий фактор (кинематическое приближение):

$$F(\mathbf{q}) = \int_V \rho(\mathbf{r}) e^{i\mathbf{q}\mathbf{r}} d\mathbf{r}$$

2. Для системы невзаимодействующих атомов:

$$F(\mathbf{q}) = \sum_j e^{i\mathbf{q}\mathbf{r}_j} F_{atom}^j(|\mathbf{q}|)$$

3. Для периодической системы – отдельные максимумы:

$$F(\mathbf{q}_{hkl}) = ?, F(\mathbf{q} \neq \mathbf{q}_{hkl}) = 0$$

$$\mathbf{q}_{hkl} = h\mathbf{a}^* + k\mathbf{b}^* + l\mathbf{c}^*$$

$$\mathbf{a}^* = \frac{[\mathbf{b} \times \mathbf{c}]}{\mathbf{a} \cdot [\mathbf{b} \times \mathbf{c}]}, b, c = \dots$$

$$F(\mathbf{q}_{hkl}) = \int_{\Omega} \rho(\mathbf{r}) e^{2\pi i \mathbf{q}_{hkl} \mathbf{r}} d\mathbf{r}$$

## 1.1 Структурная амплитуда

---

Как же описать дифракцию РИ на 3D кристалле – системе атомов?

**Но множество векторов  $\mathbf{q}$ :**

$$\hat{A}(\mathbf{q}) = \hat{A}_0 \sum_j e^{i\mathbf{q}\mathbf{r}_j} F_{atom}^j(\mathbf{q})$$

$$\mathbf{q} = h\mathbf{a}^* + k\mathbf{b}^* + l\mathbf{c}^*$$

**(Закон Брегга)**

Очевидно, что суммированию можно ограничиться единственной ячейкой, т.к.

$$F_{hkl} = \int_{\Omega} \rho(\mathbf{r}) e^{2\pi i(h\mathbf{a}^* + k\mathbf{b}^* + l\mathbf{c}^*)\mathbf{r}} d\mathbf{r}, \quad \hat{A}_{hkl} = \hat{A}_0 F_{hkl}$$

( $\Omega$  – элементарная ячейка)

**Тогда:**

$$\begin{aligned} F_{hkl} &= \sum_j e^{2\pi i(\mathbf{q}_{hkl})\mathbf{r}_j} F_{atom}^j(\mathbf{q}_{hkl}) = \sum_j e^{2\pi i(h\mathbf{a}^* + k\mathbf{b}^* + l\mathbf{c}^*)(x_j\mathbf{a} + y_j\mathbf{b} + z_j\mathbf{c})} F_{atom}^j(\mathbf{q}_{hkl}) = \\ &= \sum_j e^{2\pi i(hx_j + ky_j + lz_j)} F_{atom}^j(\mathbf{q}_{hkl}) \end{aligned}$$

## 1.1 Структурная амплитуда

Итак:  $\hat{A}_{hkl} = \hat{A}_0 F_{hkl}$  где  $F_{hkl} = \sum_j e^{2\pi i(hx_j + ky_j + lz_j)} F_{atom}^j(\mathbf{q}_{hkl})$

В каких случаях это верно? Тогда, когда  $\rho(\mathbf{r}) = \sum_j \rho_{atom}^j(\mathbf{r}_{atom} + \mathbf{r}_j)$

Что может нарушать это соотношение?

1. Перераспределение  $\rho(\mathbf{r})$  в результате химических взаимодействий
2. Тепловое движение атомов в кристалле
3. Наличие неупорядоченных дефектов

$$F_{hkl} = \sum_j g_j t_j(\mathbf{q}_{hkl}) e^{2\pi i(hx_j + ky_j + lz_j)} F_{atom}^j(\mathbf{q}_{hkl})$$

Заселенность

Параметр атомного смещения  
(тепловой параметр)

## 1.2. Параметры атомного смещения

---

Атом колеблется относительно равновесного положения:

$$\rho_{atom}^{osc}(\mathbf{r}) = \int_V \rho_{atom}(\mathbf{r} - \mathbf{r}_{ref}) w(\mathbf{r}_{ref}) d\mathbf{r}_{ref} = \rho_{atom} * w$$

где  $w(\mathbf{r}_{ref})$  – плотность вероятности пребывания атома в точке  $\mathbf{r}_{ref}$

Ситуация сильно упрощается:

$$F\rho_{atom}^{osc}(\mathbf{r}) = F\rho_{atom} \times Fw$$

Тогда для каждого атома действительно будет существовать  $t(\mathbf{q})$ :

$$t(\mathbf{q}_{hkl}) = \int_V w(\mathbf{r}) e^{i\mathbf{q}_{hkl}\mathbf{r}} d\mathbf{r}$$

В самом простом варианте плотность вероятности сферически симметрична

$$t_j\left(\frac{\sin \theta}{\lambda}\right) = \exp\left(-B_j \frac{\sin^2 \theta}{\lambda^2}\right) = \exp\left(-8\pi^2 (U_j)^2 \frac{\sin^2 \theta}{\lambda^2}\right)$$

$U_j$  – среднеквадратичное отклонение от положения равновесия

## 1.2. Atomic Displacement Parameters (APD's)

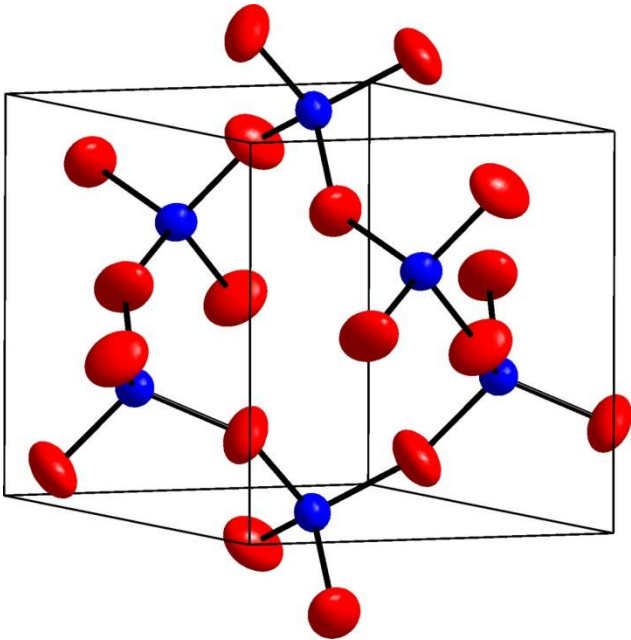
Параметр атомного смещения («тепловой параметр») –  $B$  или  $U$

$$U = 0.001 - 0.06 \text{ \AA}^2, B = 0.1 - 5 \text{ \AA}^2, B = 8\pi^2 U \cong 80 U$$

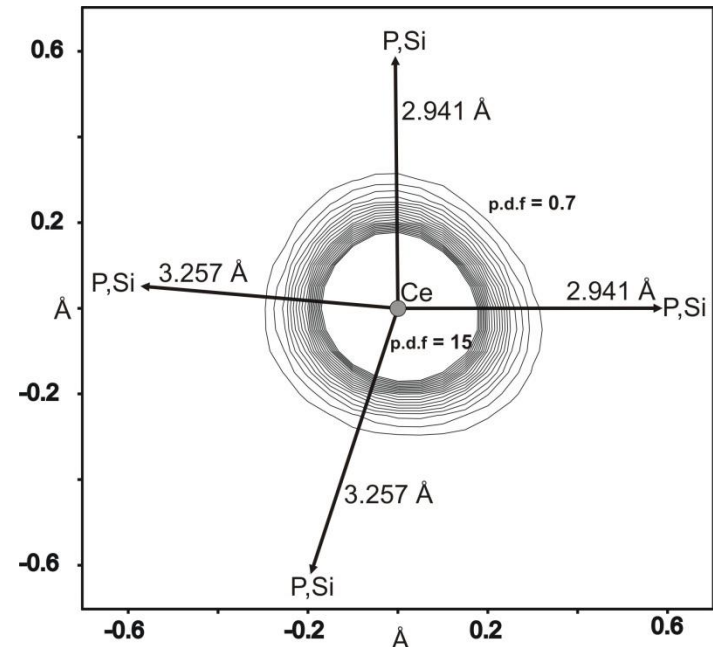
Также возможно использование анизотропного приближения:

$$t_{hkl}^j = \exp\left(-2\pi^2\left(U_{11}^j h^2 a^{*2} + U_{22}^j k^2 b^{*2} + U_{33}^j l^2 c^{*2} + 2U_{12}^j hka^*b^* + 2U_{13}^j hla^*c^* + 2U_{23}^j klb^*c^*\right)\right)$$

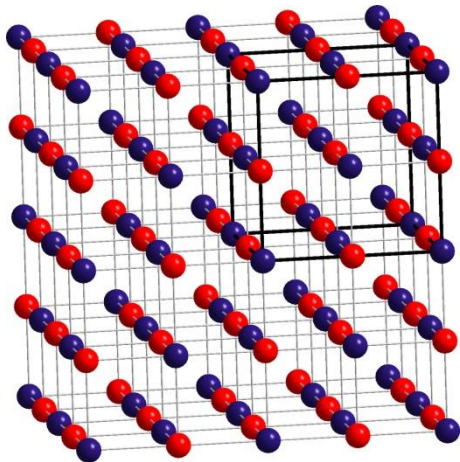
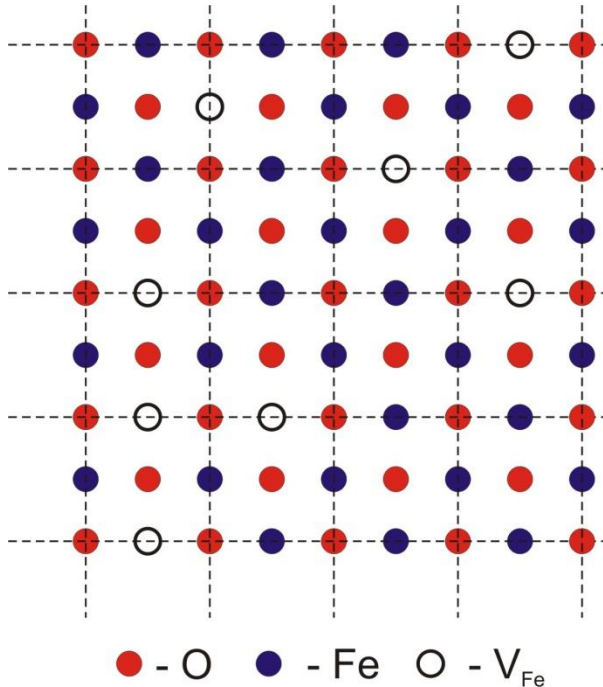
Эллипсоиды ( $P > 98\%$ ) для  $\text{SiO}_2$



Ангармоническое приближение



## 1.3. Заселенность



Вероятность присутствия атома в заданной позиции может быть меньше 1

$$g_j < 1$$

1. Присутствие вакансий ( $\text{Fe}_{1-x}\text{O}$ ).
2. Твердые растворы замещения ( $\text{K}_{1-x}\text{Na}_x\text{Cl}$ )
3. Разупорядочение ( $\text{C}_{60}$ )
4. Существование разных структурных блоков ( $\text{La}_4(\text{P}_{1-x}[\text{C}_2]_x)_3$ ).

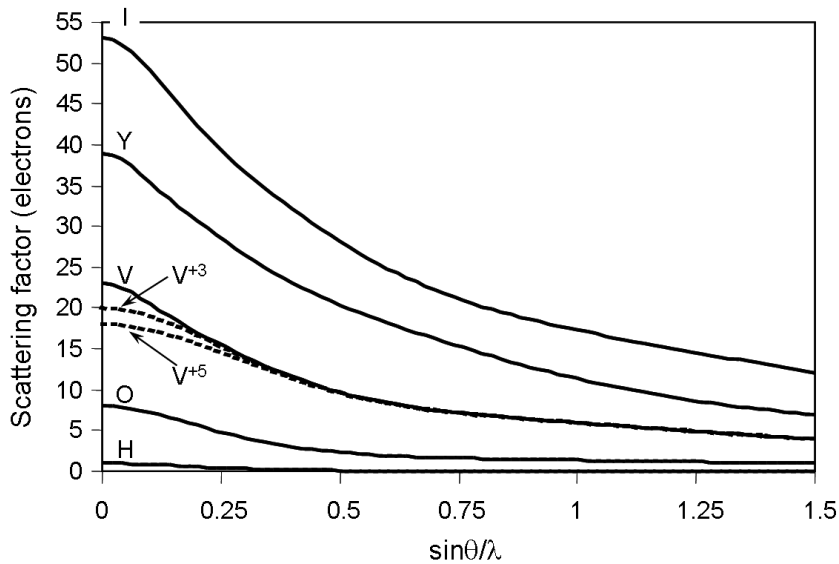
Тогда  $\rho^j(\mathbf{r}) = \sum_k g_k \rho_{atom}^k(\mathbf{r})$ ,  $\sum_k g_k \leq 1$

и рассеивающий фактор

$$\begin{aligned}
 F\rho^j(\mathbf{r}) &= F\left(\sum_k g_k \rho_{atom}^k(\mathbf{r})\right) = \\
 &= \sum_k g_k F\left(\rho_{atom}^k(\mathbf{r})\right) = \sum_k g_k F_{atom}^k(\mathbf{q})
 \end{aligned}$$



## 1.4. Аномальное рассеяние



Обычно для упрощения расчетов считают:

$$F_{atom}^j(\mathbf{q}) = f_{atom} \left( \frac{\sin \theta}{\lambda} \right) = c_0 + \sum_{k=1}^{k=4} a_k \exp \left( -b_k \frac{\sin \theta}{\lambda} \right)$$

Коэффициенты  $c_0, a_1-a_4, b_1-b_4$ :  
Int.Tab.Cryst., Vol.C

Очевидно, что  $f_{atom}$  не зависит от  $\lambda$ . В первом приближении это верно, однако необходимо учитывать «динамические» эффекты:

$$f_{atom}^{tot} = f_{atom}^0 + \Delta f'_{atom} + i \Delta f''_{atom}$$

Т.н.  $f', f''$  зависят от длины волны – максимальны вблизи края поглощения.

Амплитуда аномального рассеяния  $\sim \lambda, \sim 1/Z$

# Summary 1

---

1. В кинематическом приближении протяженные системы рассеивают как

$$\hat{A} = F(\mathbf{q})\hat{A}_0, \quad F(\mathbf{q}) = \int \rho(\mathbf{r})e^{i\mathbf{q}\mathbf{r}} d\mathbf{r}$$

2. Для системы, состоящей из атомов  $F(\mathbf{q}) = \sum_j e^{i\mathbf{q}\mathbf{r}_j} F_{atom}^j(\mathbf{q})$

3. Для 3D кристалла мы можем рассчитать положения максимумов:

$$\mathbf{k}' - \mathbf{k} = \mathbf{q}, \quad \mathbf{q} = h\mathbf{a}^* + k\mathbf{b}^* + l\mathbf{c}^*$$

$$\frac{1}{d_{hkl}} = |\mathbf{q}|, \quad 2d \sin \theta = \lambda$$

1. Структурная амплитуда описывает соотношение между амплитудой падающей и дифрагировавшей волн для рефлекса hkl (положение рефлекса = Закон Брегга):

$$\hat{A}_{hkl} = \hat{A}_0 F_{hkl} = \hat{A}_0 \sum_j g_j t_j(\mathbf{q}_{hkl}) e^{2\pi i(hx_j + ky_j + lz_j)} F_{atom}^j(\mathbf{q}_{hkl})$$

## 2.1 Амплитуда и фаза для рассеивающего фактора

---

**Комплексная амплитуда рассеянного излучения:**

$$\hat{A}_{hkl} = \hat{A}_0 F_{hkl} = \hat{A}_0 \sum_j g_j t_j(\mathbf{q}_{hkl}) e^{2\pi i(hx_j + ky_j + lz_j)} F_{atom}^j(\mathbf{q}_{hkl})$$

**Очевидно, что:**

$$F_{hkl} = |F_{hkl}| e^{i\varphi_{hkl}} = \sum_j A \cos 2\pi(hx_j + ky_j + lz_j) + iB \sin 2\pi(hx_j + ky_j + lz_j)$$

**Стоит отметить, что в эксперименте мы регистрируем интенсивности:**

$$I_{hkl} \propto |A_{hkl}|^2 \propto |F_{hkl}|^2$$

**Из этого следует, что мы получаем информацию о  $|F_{hkl}|$ , но не об их фазах**

**Кстати: в отсутствие аномального рассеяния  $F_{atom}$  – действительная величина**

## 2.2 Симметрия в прямом и обратном пространстве

---

Пусть существует некоторая операция симметрии  $A$

$$\mathbf{x}'_{atom} = A\mathbf{x}_{atom}$$

Тогда для рассеивающего фактора:

$$F(\mathbf{q}) = \sum_j e^{i\mathbf{q}\mathbf{x}_j} F_{atom}^j(\mathbf{q})$$

Можно записать аналогичное соотношение в обратном пространстве

$$\mathbf{q}' = A^T \mathbf{q}$$

Т.е. симметрия прямого пространства «переносится»  
в обратное пространство

Самый простой случай – центр инверсии. Тогда  $F_{hkl}$  –  
действительная величина (в предположении действительных  $F_{atom}$ )

## 2.2 Симметрия в прямом и обратном пространстве

---

**А это действительно так?**

$$\mathbf{A}\rho(\mathbf{r}) \equiv \rho(\mathbf{A}\mathbf{r}) = \rho(\mathbf{r})$$

**Но тогда:**

$$\int_{\Omega} \rho(\mathbf{A}\mathbf{r}) e^{i\mathbf{q}'(\mathbf{A}\mathbf{r})} d(\mathbf{A}\mathbf{r}) = \int_{\Omega} \rho(\mathbf{r}) e^{i\mathbf{q}'(\mathbf{A}\mathbf{r})} d\mathbf{r} = \int_{\Omega} \rho(\mathbf{r}) e^{i(\mathbf{A}^T\mathbf{q})\mathbf{r}} d\mathbf{r} = F(\mathbf{A}^T\mathbf{q})$$

**Т.е. для унитарного преобразования мы получили:**

$$\mathbf{q}' = \mathbf{A}^T \mathbf{q}$$

**Трансляционные преобразования отображаются иначе:**

$$\int_{\Omega} \rho(\mathbf{r} + \mathbf{t}) e^{i\mathbf{q}\mathbf{r}} d\mathbf{r} = e^{-i\mathbf{q}\mathbf{t}} \int_{\Omega} \rho(\mathbf{r} + \mathbf{t}) e^{i\mathbf{q}(\mathbf{r} + \mathbf{t})} d(\mathbf{r} + \mathbf{t}) = e^{-i\mathbf{q}\mathbf{t}} F(\mathbf{q})$$

**Т.е. для полных трансляций все полносимметрично**

## 2.3 Закон Фриделя

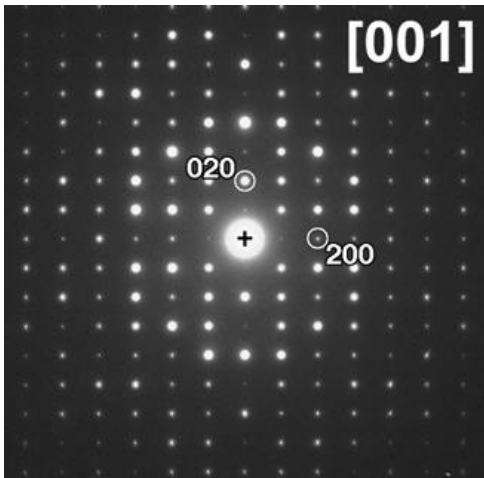
$$F_{hkl} = |F_{hkl}| e^{i\varphi_{hkl}} = \sum_j A \cos 2\pi(hx_j + ky_j + lc_j) + iB \sin 2\pi(hx_j + ky_j + lc_j)$$

Тогда для дифракционных векторов  $q=(h,k,l)$  и  $q'=(-h,-k,-l)$  в отсутствие аномального рассеяния

$$A_{hkl} = A_{\bar{h}\bar{k}\bar{l}}, B_{hkl} = -B_{\bar{h}\bar{k}\bar{l}}, |F_{hkl}| = |F_{\bar{h}\bar{k}\bar{l}}|, \varphi_{hkl} = -\varphi_{\bar{h}\bar{k}\bar{l}}$$

Из этого прямо следует:  $I_{hkl} = I_{\bar{h}\bar{k}\bar{l}}$

**Дифракционная картина centrosymmetric (закон Фриделя)**



**- аналогичные законы имеют место и для других дифракционных методов (ED, Neutrons)**

## 2.4 Симметрия в обратном пространстве

---

**Симметрия обратной решетки = Лауэ-класс кристалла  
(точечная группа + центр инверсии)**

**Т.о. каждому вектору обратной решетки соответствует ряд эквивалентных – «звезда» векторов**

Например, для кубического кристалла:

**(1,0,0) (-1,0,0)**

**(0,1,0) (0,-1,0)**

**(0,0,1) (0,0,-1)**

**Фактор повторяемости**

$$p_{001} = 6$$

**(1,1,0) (-1,-1,0)**

**(-1,1,0) (1,-1,0)**

**(0,1,1) (0,-1,-1)**

**(0,-1,1) (0,1,-1)**

**(1,0,1) (-1,0,-1)**

**(-1,0,1) (1,0,-1)**

**Фактор повторяемости**

$$p_{110} = 12$$

## 2.5 Симметрия в обратном пространстве

Фактор повторяемости зависит не только от сингонии, но и от группы симметрии (точнее, Лауэ-класса) кристалла:

Тетрагональный кристалл, рефлекс (420) на дифрактограмме:

**$P4mm$**

**$(4,2,0)$   $(-4,-2,0)$**

**$(4,-2,0)$   $(-4,2,0)$**

**$(2,4,0)$   $(-2,-4,0)$**

**$(2,-4,0)$   $(-2,4,0)$**

**$p_{420} = 8$**

**$P4$**

**$(4,2,0)$   $(-2,4,0)$**

**$(-4,-2,0)$   $(2,-4,0)$**

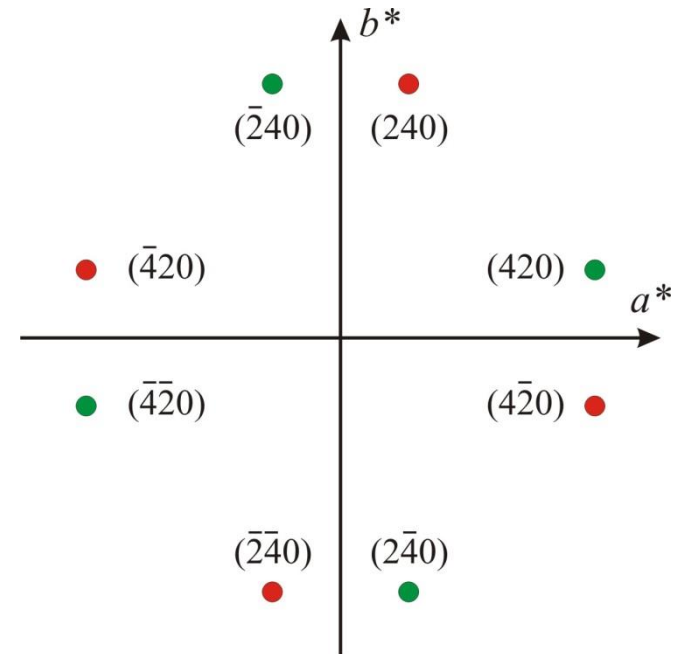
**$p_{420} = 4$**

**+**

**$(2,4,0)$   $(-4,2,0)$**

**$(-2,-4,0)$   $(4,-2,0)$**

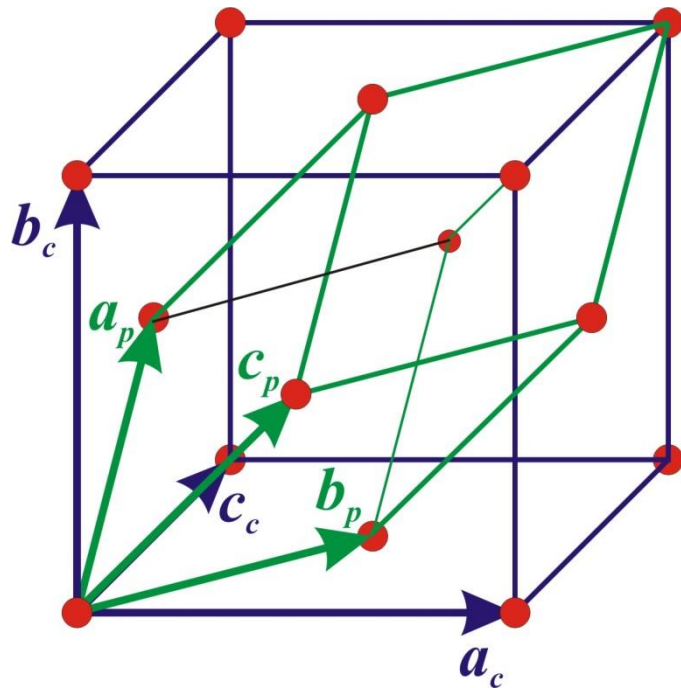
**$p_{240} = 4$**





## 2.6 Систематические погасания - центрировки

### F-центрированная ячейка



Матрица  
перехода  
Cryst.→Prim.  
для **базисных  
векторов**:

$$\mathbf{A} = \begin{pmatrix} 0 & 0.5 & 0.5 \\ 0.5 & 0 & 0.5 \\ 0.5 & 0.5 & 0 \end{pmatrix}$$

Матрица  
перехода для  
**координат  
(h,k,l)** в  
обратном  
пространстве:

$$(\mathbf{A}^T)^T = \mathbf{A} = \begin{pmatrix} 0 & 0.5 & 0.5 \\ 0.5 & 0 & 0.5 \\ 0.5 & 0.5 & 0 \end{pmatrix}$$

**Тогда**

$$h' = 0.5k + 0.5l, \quad k' = 0.5h + 0.5l, \quad l' = 0.5h + 0.5k$$

**Очевидно, что  $h', k', l'$  должны быть целочисленными.**

F-центр.

$$\left. \begin{aligned} h+k &= 2n \\ h+l &= 2n \\ k+l &= 2n \end{aligned} \right\} \forall h, k, l$$

I-центр.

$$h+k+l = 2n \quad \forall h, k, l$$

Базоцентрированная

$$C: h+k = 2n \quad \forall h, k, l$$

$$B: h+l = 2n \quad \forall h, k, l$$

$$A: k+l = 2n \quad \forall h, k, l$$

R-центр. в  
гексагональной  
установке

$$-h+k+l = 3n \quad \forall h, k, l$$

## 2.6 Систематические погасания – открытые элементы симметрии

---

Пусть открытым элементом симметрии является плоскость  $a_y$

$$(x, y, z) \rightarrow \left( x + \frac{1}{2}a, -y, z \right)$$

Тогда в выражении для  $F_{hkl}$  можно выделить следующие пары:

$$\begin{aligned} F_{hkl} &= \sum_j g_j t_j \left( e^{2\pi i(hx+ky+lz)} + e^{2\pi i(h(x+0.5)-ky+lz)} \right) F_{atom}^j = \\ &= \sum_j g_j t_j e^{2\pi i(hx+ky+lz)} \left( 1 + e^{2\pi i(0.5h-2ky)} \right) F_{atom}^j \end{aligned}$$

Тогда при  $k=0$   $h$  должно быть четным (в противном случае  $F_{h0l}=0$ ).

Условия погасания (точнее, появления☺):  $(h0l)$ ,  $h = 2n$

Для оси  $2_1$ , направленной вдоль оси  $x$ :

Условия погасания (опять же, появления):  $(h00)$ ,  $h = 2n$

Набор погасаний  $\leftrightarrow$  центрировки + открытые элементы симметрии

## 2.6 Систематические погасания

Обозначение элемента	Ориентация	Зона	Условия
<b>Центрировки</b>			
<i>A</i>	—	<i>hkl</i>	$k+l=2n$
<i>B</i>	—	<i>hkl</i>	$h+l=2n$
<i>C</i>	—	<i>hkl</i>	$h+k=2n$
<i>F</i>	—	<i>hkl</i>	$h+k=2n$ $k+l=2n$ $h+l=2n$
<i>I</i>	—	<i>hkl</i>	$h+k+l=2n$
<i>R</i> (в гексагональной установке)	—	<i>hkl</i>	$-h+k+l=3n$

## 2.6 Систематические погасания

Обозначение элемента	Ориентация	Зона	Условия
<b>Плоскости скользящего отражения</b>			
<i>a</i>	(010)	<i>h0l</i>	$h=2n$
	(001)	<i>hk0</i>	$h=2n$
	(110)	<i>hhl</i>	$h=2n$
<i>b</i>	(100)	<i>0kl</i>	$k=2n$
	(001)	<i>hk0</i>	$k=2n$
<i>c</i>	(100)	<i>0kl</i>	$l=2n$
	(010)	<i>h0l</i>	$l=2n$
	(110)	<i>hhl</i>	$l=2n$
	(1-10)	<i>h-hl</i>	$l=2n$
<i>d</i>	(100)	<i>0kl</i>	$k+l=4n (k,l=2n)$
	(010)	<i>h0l</i>	$h+l=4n (h,l=2n)$
	(001)	<i>hk0</i>	$h+k=4n (h,l=2n)$
	(110)	<i>hhl</i>	$2h+l=4n (l=2n)$
<i>n</i>	(100)	<i>0kl</i>	$k+l=2n$
	(010)	<i>h0l</i>	$h+l=2n$
	(001)	<i>hk0</i>	$h+k=2n$
	(110)	<i>hhl</i>	$l=2n$

## 2.6 Систематические погасания

Обозначение элемента	Ориентация	Зона	Условия
<b>Винтовые оси</b>			
$2_1, 4_2$	[100]	$h00$	$h=2n$
	[010]	$0k0$	$k=2n$
$2_1, 4_2, 6_3$	[001]	$00l$	$l=2n$
$4_1, 4_3$	[100]	$h00$	$h=4n$
	[010]	$0k0$	$k=4n$
	[001]	$00l$	$l=4n$
$3_1, 3_2, 6_2, 6_4$	[001]	$00l$	$l=3n$
$6_1, 6_5$	[001]	$00l$	$l=6n$

## 2.7 Выбор пространственной группы

---

- 1. Определение сингонии кристалла из результатов индирования**
  - 1.1 Может приводить к ошибкам (близкие по модулям вектора и т.п.)
  - 1.2 Всегда руководствуйтесь правилами выбора ячейки: ячейка с максимальной симметрией наименьшего объема.
- 2. Анализ систематических погасаний рефлексов**
  - 2.1 Центрировки
  - 2.2 Открытые элементы симметрии (если есть)
- 3. Выбор *наиболее высокосимметричной группы*, удовлетворяющей условиям 1 и 2.**
- 4. Дальнейшее уточнение данных о симметрии кристалла – в ходе решения/уточнения структуры**

# Summary

---

1. Симметрия кристалла в прямом пространстве отражается на симметрии обратного пространства
2. Интенсивности (не комплексные амплитуды!) рефлексов  $(hkl)$  и  $(-h,-k,-l)$  при отсутствии аномального рассеяния равны – закон Фриделя.
3. Симметрия обратного пространства (узлы обратной решетки +  $|F|^2$ ) характеризуется Лауэ-классом (точечная группа кристалла + центр инверсии).
4. В зависимости от Лауэ-класса и точечной группы дифракционного вектора  $q=hkl$  – фактор повторяемости  $p_{hkl}$ .
5. Центрировки и открытые элементы симметрии = систематические погасания.
6. Определение систематических погасаний – этап в определении пространственной группы.